

Fig. 1



Fig. 2



Fig. 4

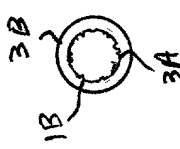
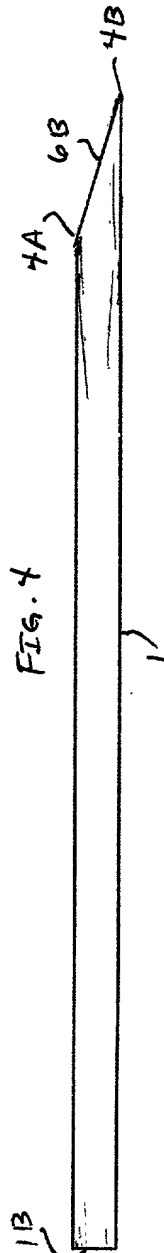


Fig. 3

Fig. 5

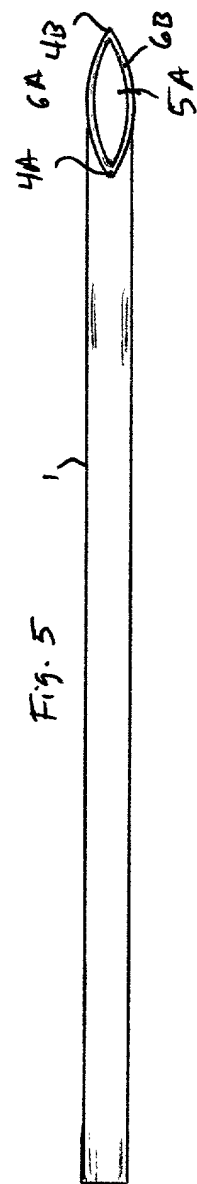


Fig. 6

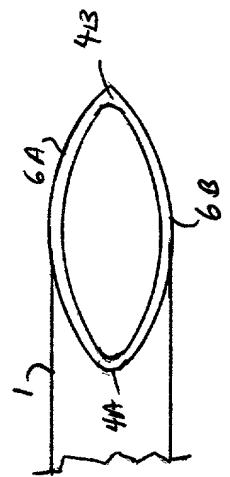


Fig. 7

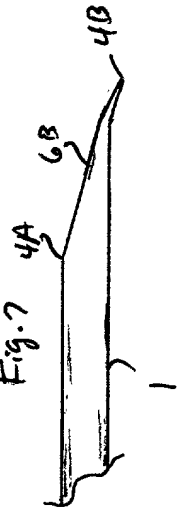


Fig. 9

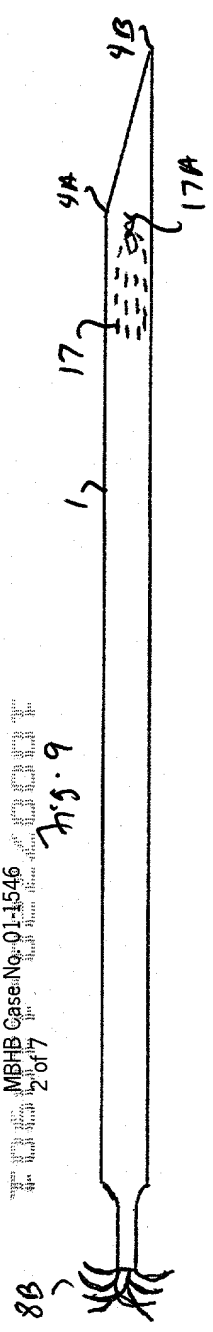


Fig. 10

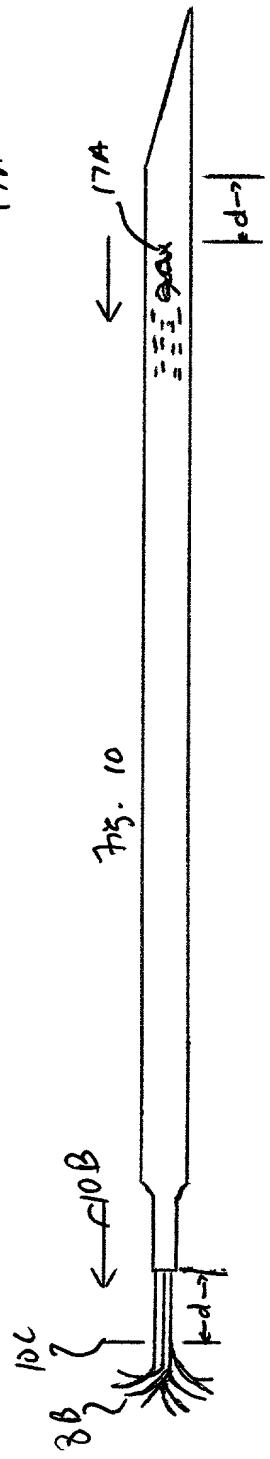


Fig. 8

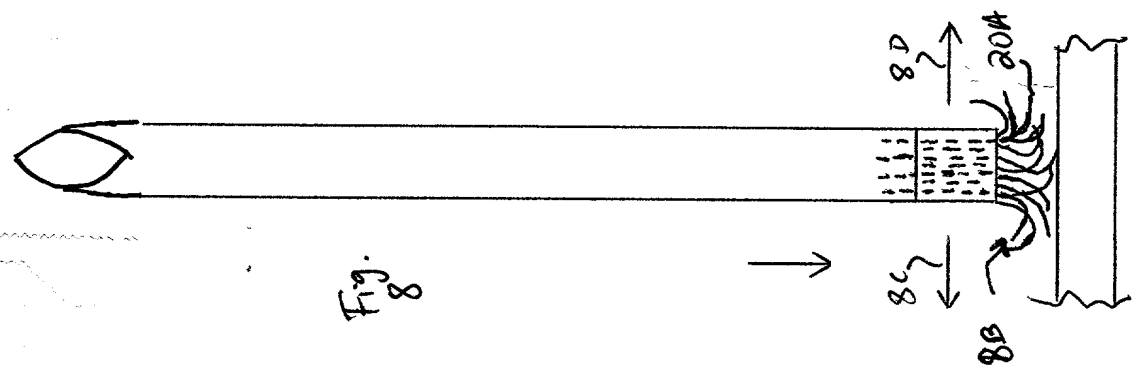


Fig. 11

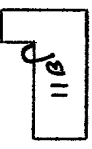


Fig. 12

Fig. 13

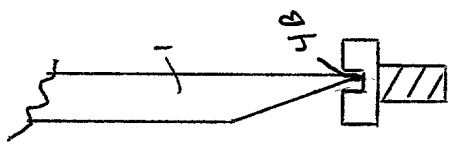


Fig. 14

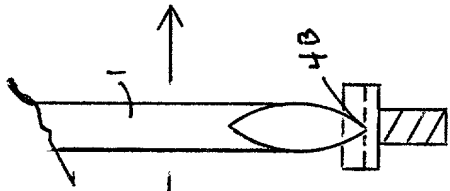


Fig. 15

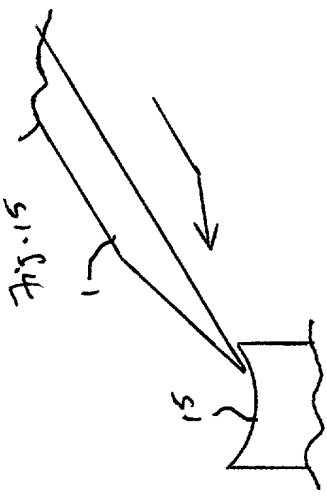


Fig. 16

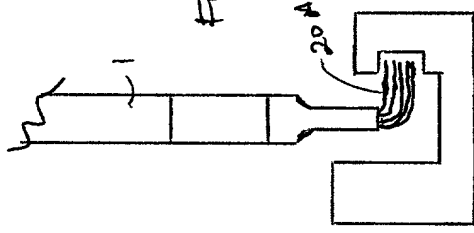


Fig. 17

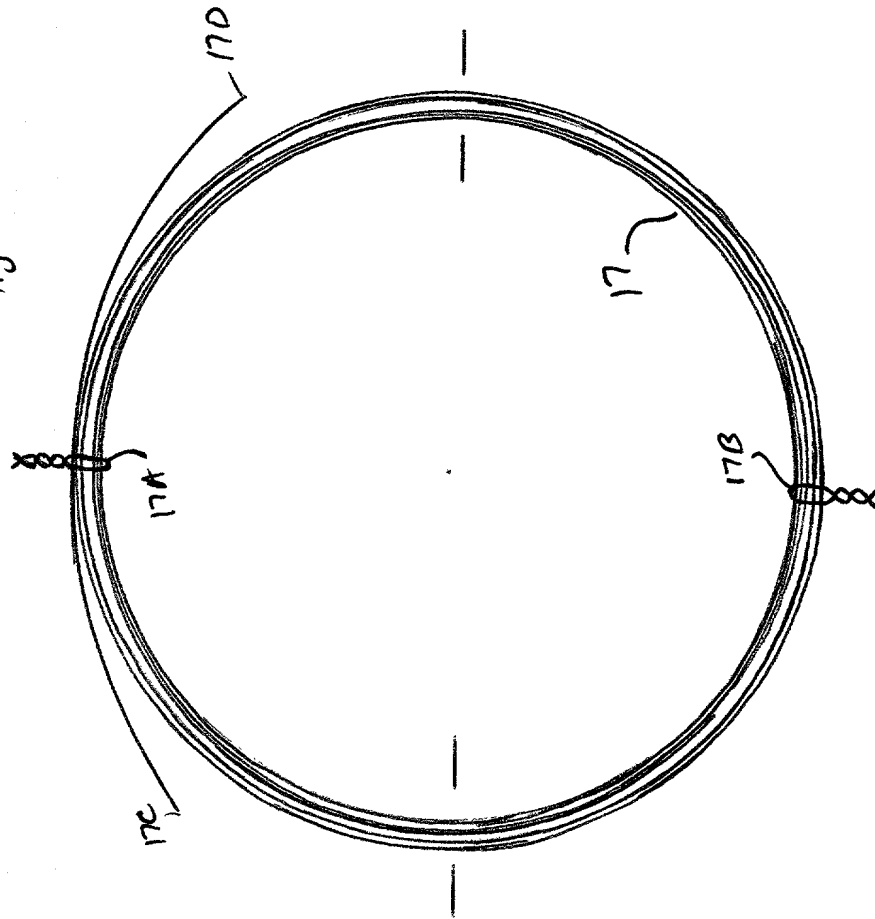


Fig. 17A

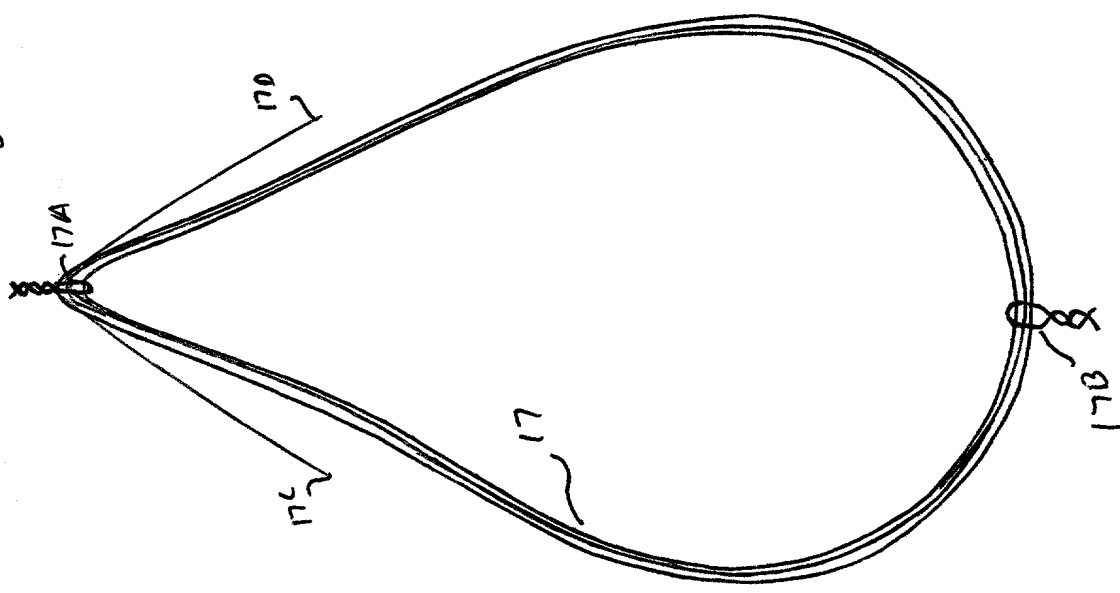


Fig. 18

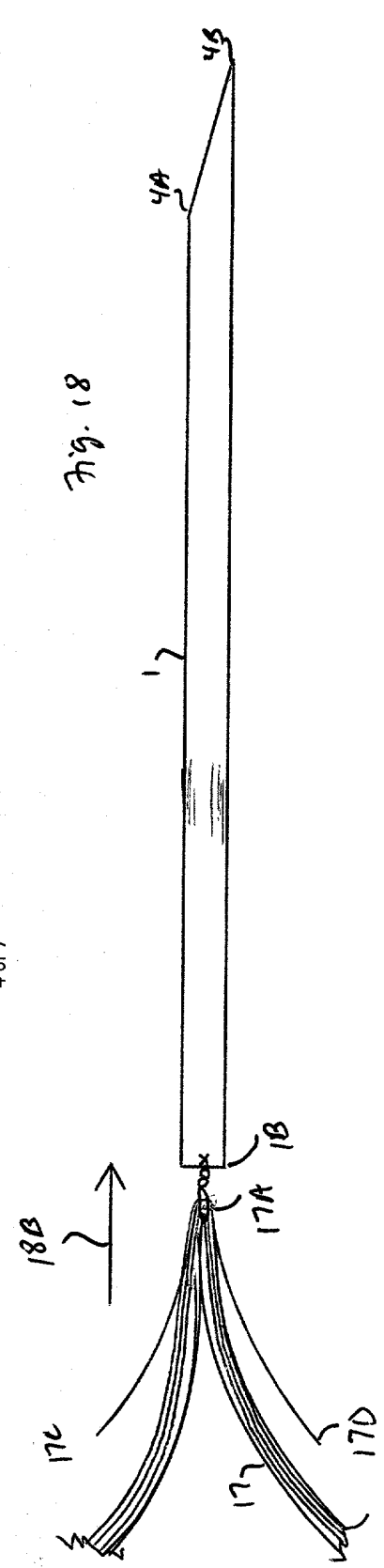


Fig. 19

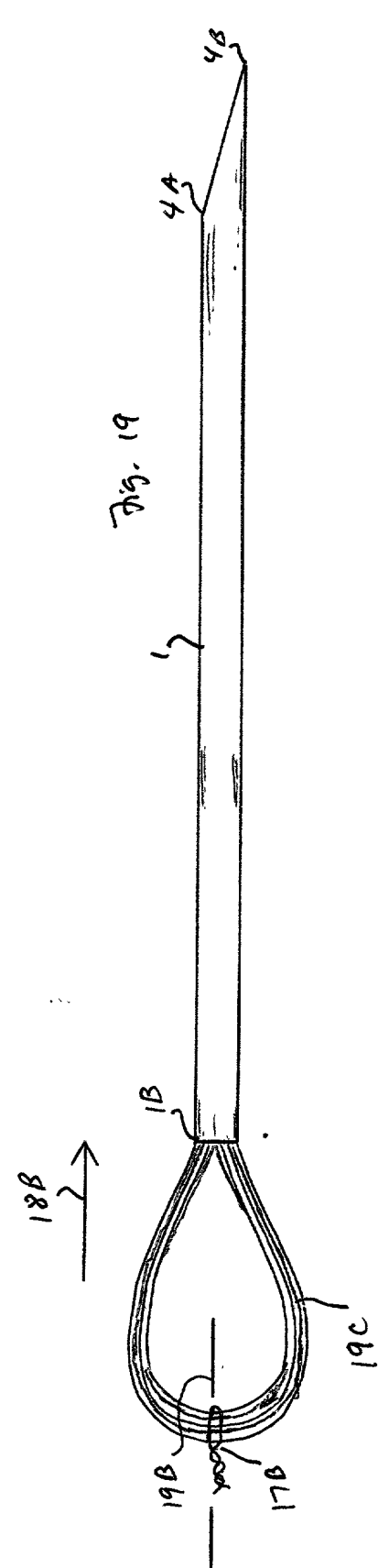
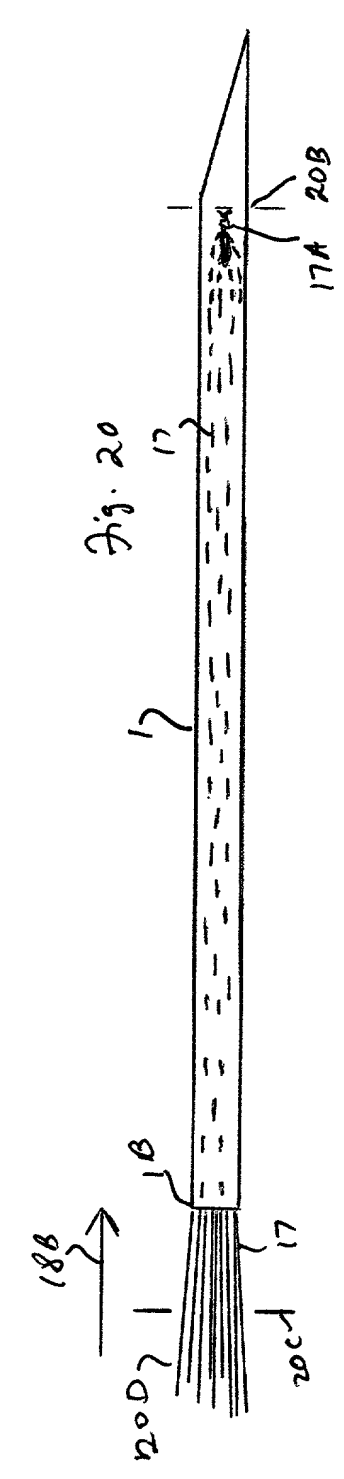


Fig. 20



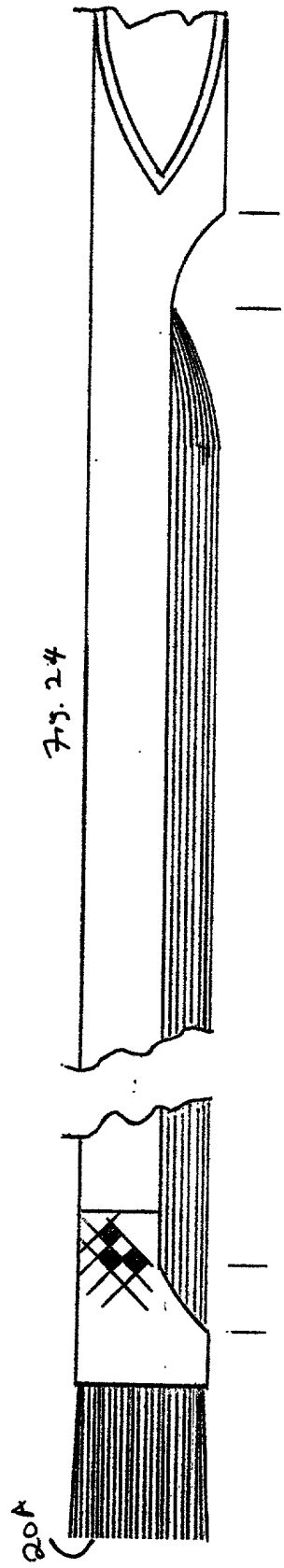
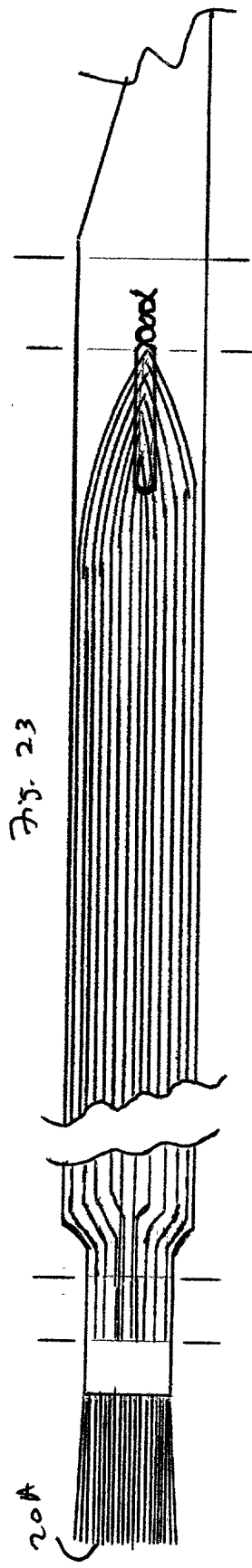
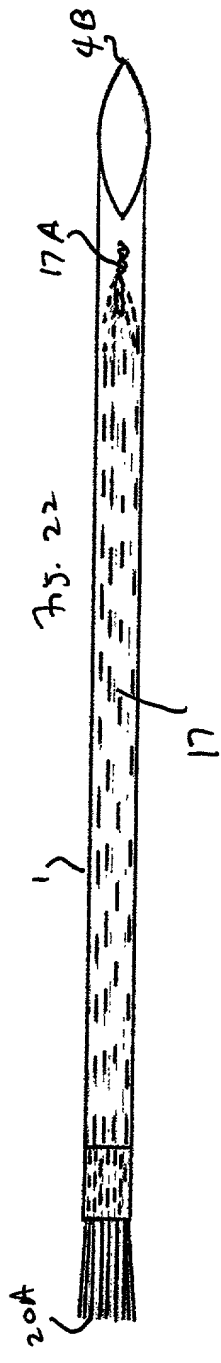
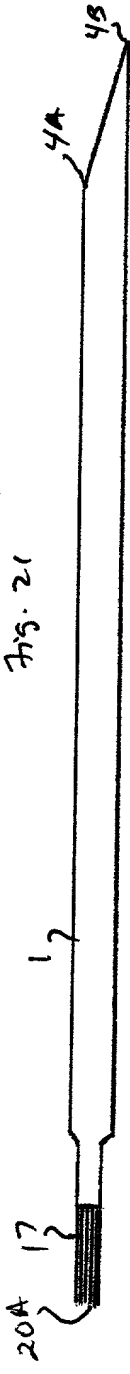


Fig. 24A

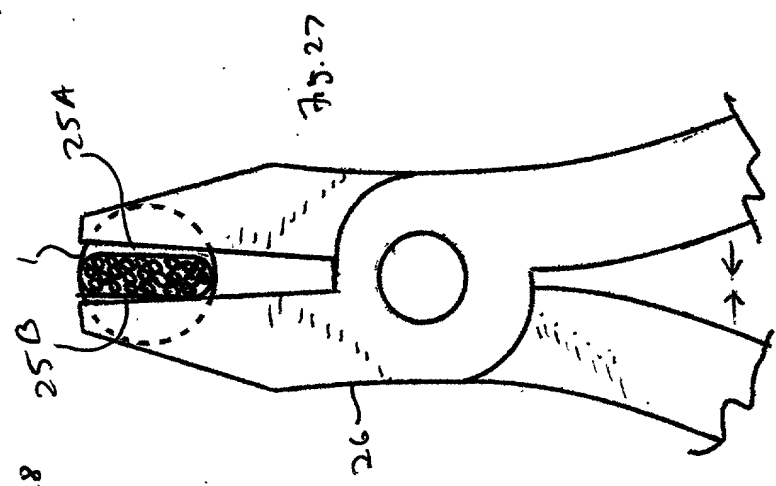
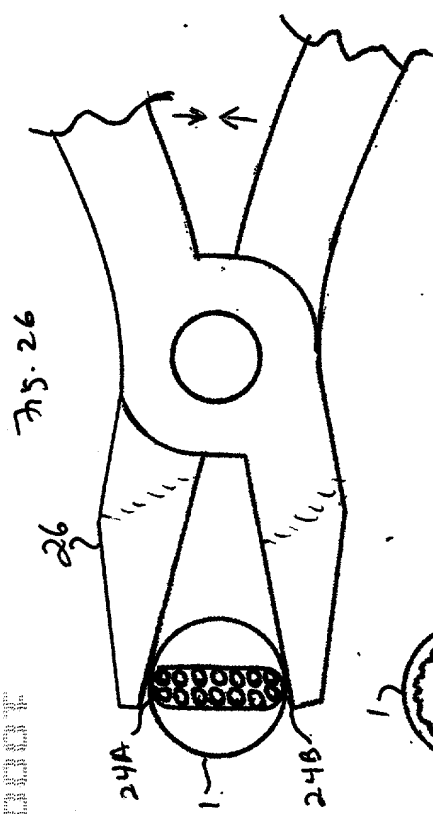
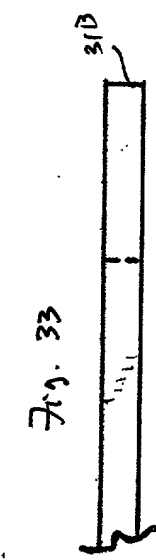
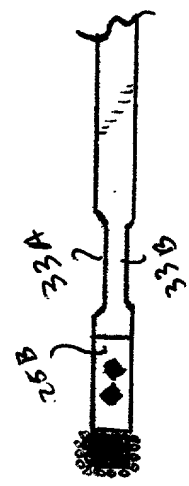
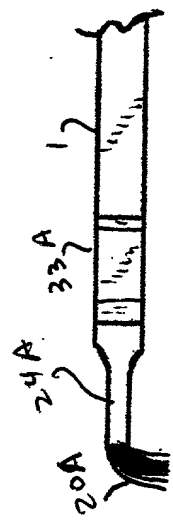
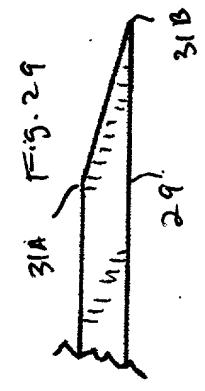
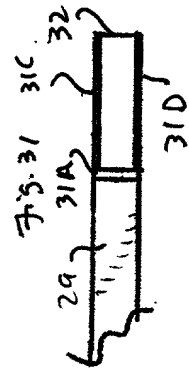
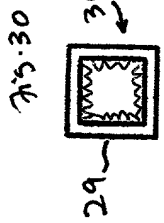
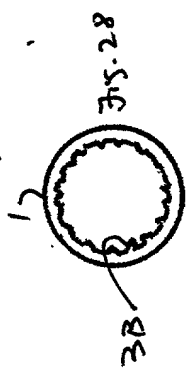
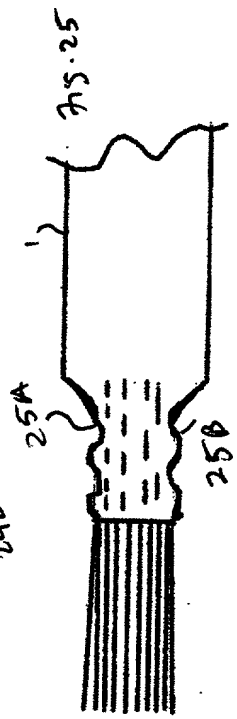
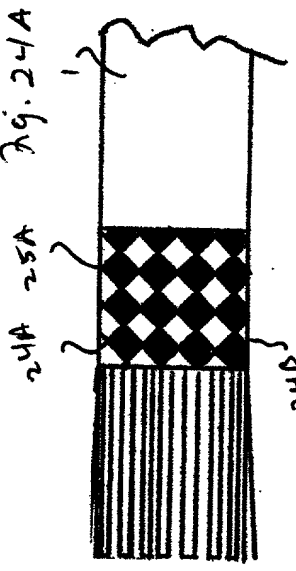


Fig. 35

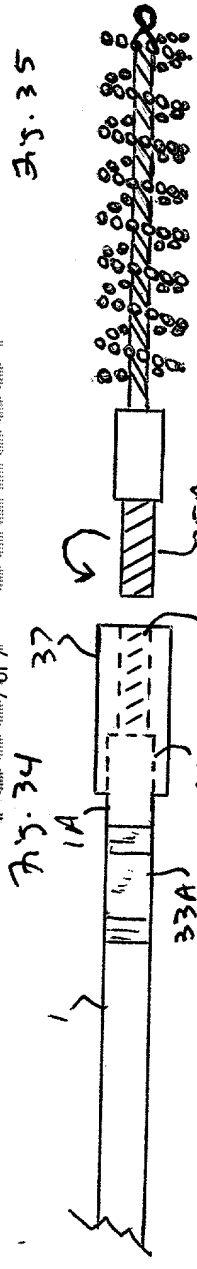


Fig. 37



Fig. 36

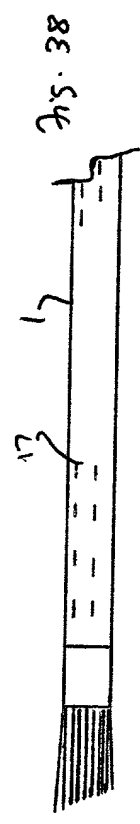


Fig. 38

Fig. 39

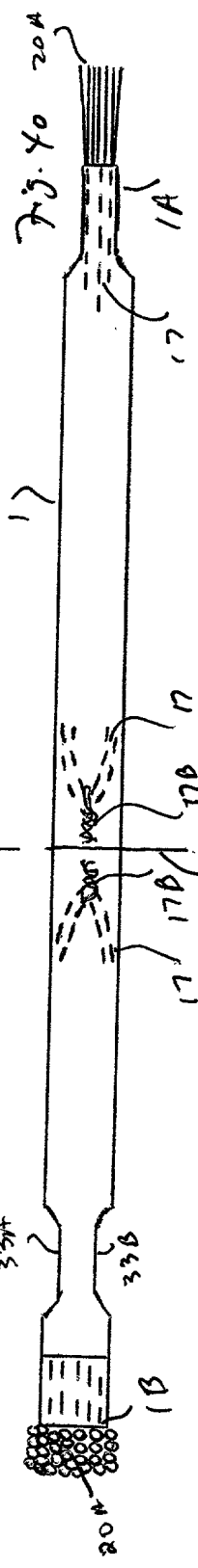
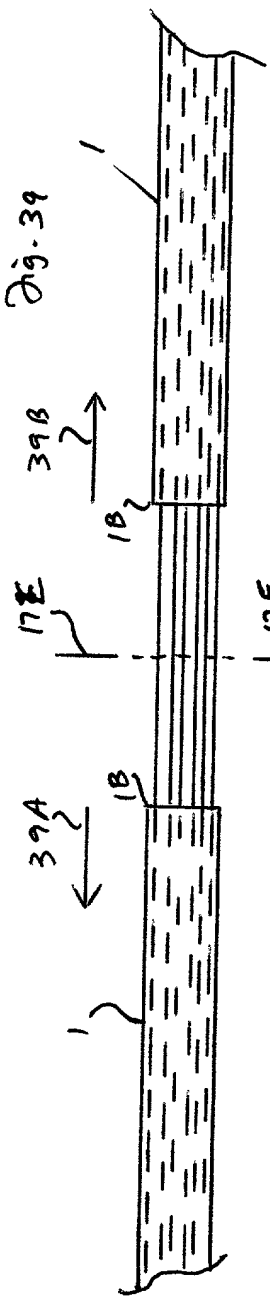


Fig. 40